

# Papiloma Schneideriano. Nuestra experiencia en los últimos 10 años

Meler, C<sup>1</sup>. Carballo, L<sup>1</sup>. Yuen, K<sup>1</sup>. Adalid, L<sup>2</sup>. Martínez, M<sup>a</sup>D<sup>1</sup>. González, M<sup>1</sup>. Merma, C<sup>1</sup>.  
Raventós, A<sup>2</sup>. Figuerola, E<sup>1</sup>..

- 1. ORL, Hospital Universitari Joan XXIII de Tarragona*
- 2. Anatomía Patológica, Hospital Universitari Joan XXIII de Tarragona*



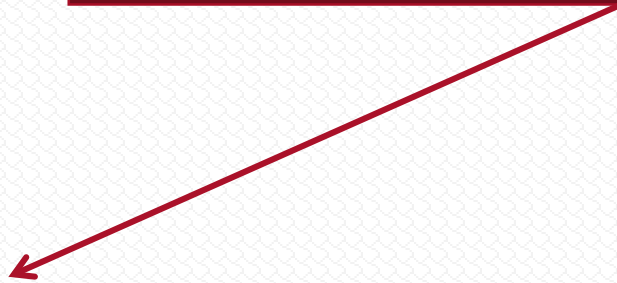
# Introducción

## Papiloma Schneideriano



# Introducción

Papiloma Schneideriano



Recurrencia

# Introducción

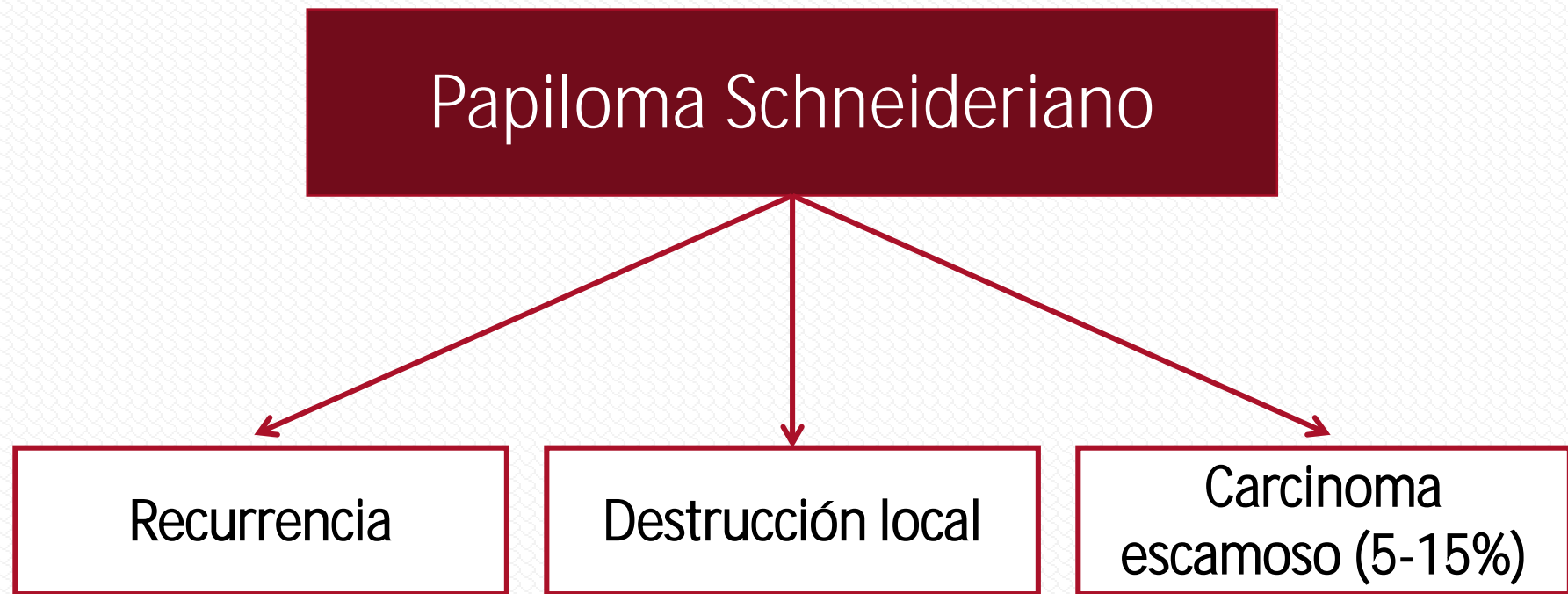
Papiloma Schneideriano

```
graph TD; A[Papiloma Schneideriano] --> B[Recurrencia]; A --> C[Destrucción local];
```

Recurrencia

Destrucción local

# Introducción





# Epidemiología

- Incidencia: 0,2-1,5/100.000 hab./año
- 0,4-7% de los tumores de la cavidad nasosinusal
- 16% de los pólipos unilaterales
- 20-50% asocian poliposis/rinosinusitis
- Edad media: 55 años
- Factores de riesgo

# Epidemiología

- Incidencia: 0,2-1,5/100.000 hab./año
- 0,4-7% de los tumores de la cavidad nasosinusal
- 16% de los pólipos unilaterales
- 20-50% asocian poliposis/rinosinusitis
- Edad media: 55 años
- Factores de riesgo



Tabaco

# Epidemiología

- Incidencia: 0,2-1,5/100.000 hab./año
- 0,4-7% de los tumores de la cavidad nasosinusal
- 16% de los pólipos unilaterales
- 20-50% asocian poliposis/rinosinusitis
- Edad media: 55 años
- Factores de riesgo



Tabaco

Exposición ocupacional

# Epidemiología

- Incidencia: 0,2-1,5/100.000 hab./año
- 0,4-7% de los tumores de la cavidad nasosinusal
- 16% de los pólipos unilaterales
- 20-50% asocian poliposis/rinosinusitis
- Edad media: 55 años
- Factores de riesgo

Tabaco

Exposición ocupacional

Rinosinusitis crónica

# Epidemiología

- Incidencia: 0,2-1,5/100.000 hab./año
- 0,4-7% de los tumores de la cavidad nasosinusal
- 16% de los pólipos unilaterales
- 20-50% asocian poliposis/rinosinusitis
- Edad media: 55 años
- Factores de riesgo

Tabaco

Exposición ocupacional

Rinosinusitis crónica

VPH



# Subtipos

- Papiloma invertido (47-93%)
  - S. Maxilar, Etmoidal, Esfenoidal y pared lateral de Fosa nasal.
  - Hombres (40-70 años).

Barnes L, Eveson J, Reichart P, Sidransky D. WHO. Pathology and genetics of head and neck tumours; 2005.



# Subtipos

- Papiloma invertido (47-93%)
  - S. Maxilar, Etmoidal, Esfenoidal y pared lateral de Fosa nasal.
  - Hombres (40-70 años).
- Papiloma exofítico (3-49%)
  - Zona anterior del septo nasal.
  - Hombres (20-50 años).

Barnes L, Eveson J, Reichart P, Sidransky D. WHO. Pathology and genetics of head and neck tumours; 2005.



# Subtipos

- Papiloma invertido (47-93%)
  - S. Maxilar, Etmoidal, Esfenoidal y pared lateral de Fosa nasal.
  - Hombres (40-70 años).
- Papiloma exofítico (3-49%)
  - Zona anterior del septo nasal.
  - Hombres (20-50 años).
- Papiloma oncocítico (3-25%)
  - S. Etmoidal, Maxilar y pared lateral de fosa nasal.
  - Predilección por ningún sexo.

Barnes L, Eveson J, Reichart P, Sidransky D. WHO. Pathology and genetics of head and neck tumours; 2005.

# Objetivos

- Caracterizar nuestra muestra para determinar si presenta los factores de riesgo establecidos en estudios previos.
- Determinar el número de casos de Papiloma Schneideriano en nuestro medio en los últimos 10 años.



# Metodología

∅ Estudio descriptivo ambispectivo.

## Criterios inclusión

- Diagnosticado de Papiloma Schneideriano en el H. U. Joan XXIII.
- Seguimiento en CCEE ORL del H. U. Joan XXIII.
- Todas las muestras se analizaron mediante examen histopatológico.

## Análisis de los datos

- Los datos se recogieron y analizaron en SPSS.

# Resultados. Epidemiología

n = 25

Edad media: 63,4 años

Datos		Total	%	p
<b>Sexo</b> (ratio 7:1)	Hombre	22/25	88	<0.001
	Mujer	3/25	12	
<b>Tabaco</b> (Mediana IPA: 30)	No	6/25	24	<0.001
	Sí	19/25	76	
<b>Exposición ocupacional</b>	Oficios asociados (eléctrica, textil, humo, polvo, disolventes orgánicos...)	11/21	52,4	NS
	No asociados	10/21	47,6	

# Resultados. Clínica al debut

Datos		Total	%
Clínica al diagnóstico	IRN	17/22	77,3
	Rinorrea	2/22	9,1
	Sinusitis	1/22	4,5
	Epistaxis	1/22	4,5
	Asintomático	1/22	4,5
Patología asociada	No	17/25	68
	Poliposis	3/25	12
	Sinusitis	4/25	16
	Otras	1/25	4
Hallazgo casual		4/25	16

# Resultados. Clínica al debut

Datos		Total	%
Clínica al diagnóstico	IRN	17/22	77,3
	Rinorrea	2/22	9,1
	Sinusitis	1/22	4,5
	Epistaxis	1/22	4,5
	Asintomático	1/22	4,5
Patología asociada	No	17/25	68
	Poliposis	3/25	12
	Sinusitis	4/25	16
	Otras	1/25	4
Hallazgo casual		4/25	16

# Resultados. Localización

Datos		Total	%
<b>Localización</b>	Fosa nasal	3/25	12
	<b>S. Maxilar</b>	<b>9/25</b>	<b>36</b>
	S. Etmoidal Ant	4/25	16
	S. Etmoidal Post	3/25	12
	S. Frontal	2/25	8
	S. Esfenoidal	3/25	12
	Nasofaringe	1/25	4
<b>Clasif. Krause</b>	T1	3/24	12,5
	T2	<b>12/24</b>	<b>50</b>
	T3	8/24	33,3
	T4	1/24	4,2

Datos		Total	%
<b>Lateralidad</b>	Derecha	11/25	44
	Izquierda	11/25	44
	Bilateral	3/25	12

# Resultados. Anatomía patológica

Datos		Total	%
Biopsia preIQ (60,9%)	Pólipo inflamatorio	9/15	60
	P. Schneideriano	2/15	13,3
	Inflamación crónica	3/15	20
	P. Escamoso	1/15	6,7

Datos	Subtipo	Total	%
Biopsia postIQ	Invertido	21/25	84
	Exofítico	1/25	4
	Oncocítico	3/25	12

# Resultados. Anatomía patológica

Datos		Total	%
Biopsia preIQ (60,9%)	Pólipo inflamatorio	9/15	60
	P. Schneideriano	2/15	13,3
	Inflamación crónica	3/15	20
	P. Escamoso	1/15	6,7

Datos	Subtipo	Total	%
Biopsia postIQ	Invertido	21/25	84
	Exofítico	1/25	4
	Oncocítico	3/25	12

# Resultados. Anatomía patológica

Datos		Total	%
Biopsia preIQ (60,9%)	Pólipo inflamatorio	9/15	60
	P. Schneideriano	2/15	13,3
	Inflamación crónica	3/15	20
	P. Escamoso	1/15	6,7

Datos	Subtipo	Total	%
Biopsia postIQ	Invertido	21/25	84
	Exofítico	1/25	4
	Oncocítico	3/25	12

Ausencia de signos de displasia o malignización.

# Resultados. VPH

Subtipo	N	G1	G2	G3	Negativo
PI	16	1	-	3	12
PE	1	-	-	-	1
PO	2	-	-	-	2
<b>Total</b>	<b>19</b>	1	-	3	15
<b>Genotipo</b>		52		11, 72	

→ Total VPH+: 4/19 (21%)



PI: 4/4 (100%)

Autor y año	Tipo estudio	N	VPH+	Genotipo	PI	PE	PO
Kari Syrjanen et al. 2013	Meta-análisis	1.956	760 (38,8%)	6, 11, 16, 18, 57	52%	30,1%	17,9%

Clasificación de riesgo basada en HPV IARC 2012 (PloS One 2017 Jan 3;12(1))

# Resultados. VPH

Subtipo	N	G1	G2	G3	Negativo
PI	16	1	-	3	12
PE	1	-	-	-	1
PO	2	-	-	-	2
<b>Total</b>	<b>19</b>	1	-	3	15
<b>Genotipo</b>		52		11, 72	

→ Total VPH+: 4/19 (21%)

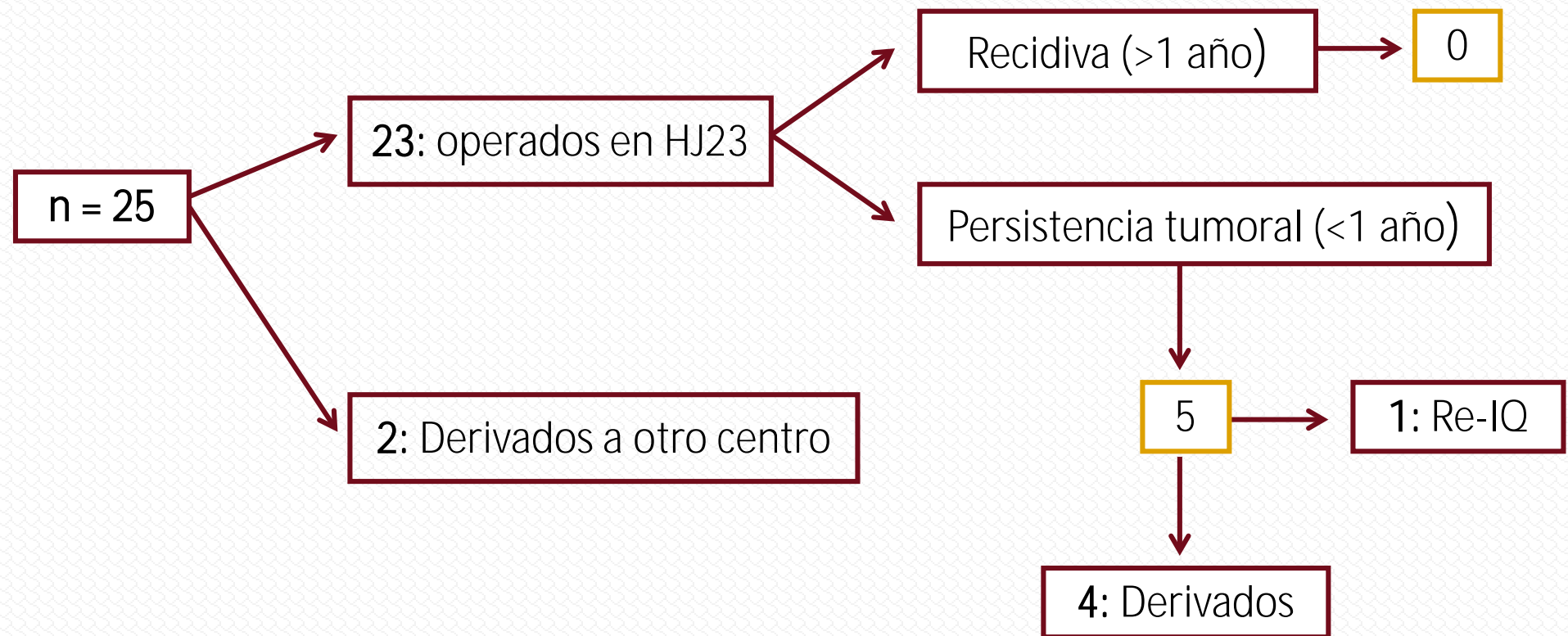


PI: 4/4 (100%)

Autor y año	Tipo estudio	N	VPH+	Genotipo	PI	PE	PO
Kari Syrjanen et al. 2013	Meta-analisis	1.956	760 (38,8%)	6, 11, 16, 18, 57	52%	30,1%	17,9%

Clasificación de riesgo basada en HPV IARC 2012 (PloS One 2017 Jan 3;12(1))

# Resultados. Seguimiento

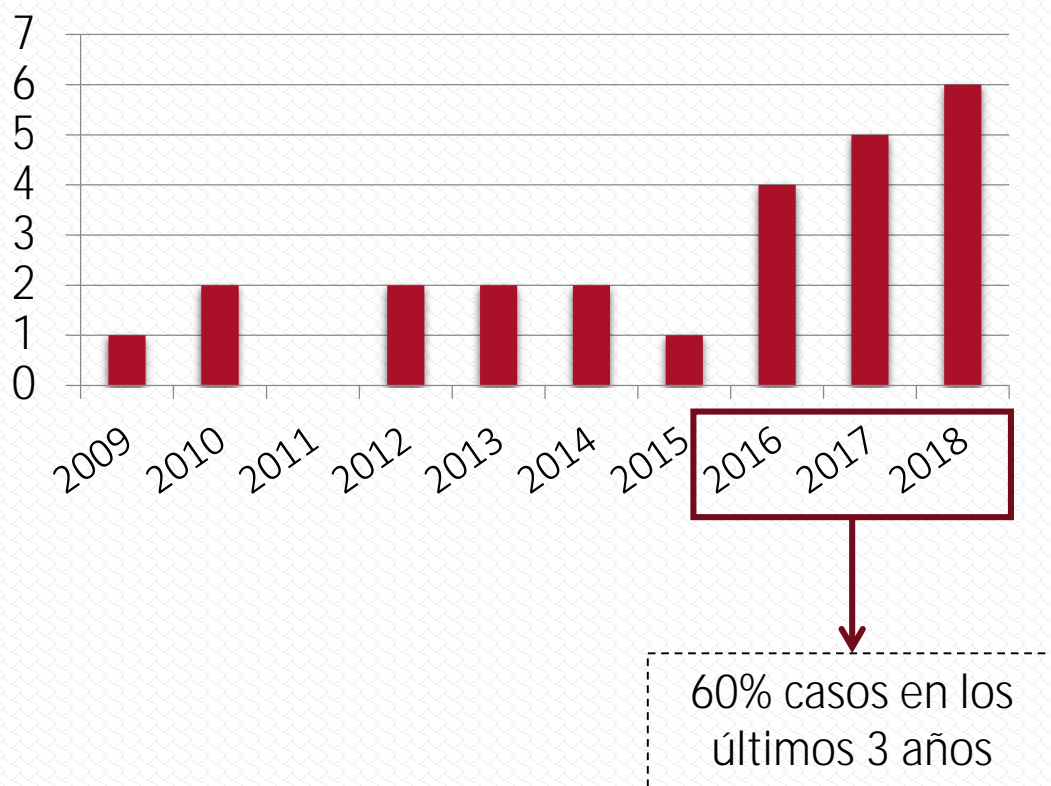


# Resultados. Casos diagnosticados



# Resultados. Casos diagnosticados

Casos por año



- ↑ área de referencia = mayor número de pacientes
- Subespecialidades dentro del servicio de ORL
- Mayor consciencia sobre la enfermedad



# Conclusiones

## Factores de riesgo

- Tabaquismo
- Exposición ocupacional

## Biopsia pre-quirúrgica

- Útil como prueba complementaria

Tendencia al alza en cuanto a nuevos diagnósticos

HJ23

Hospital Joan XXIII

Gracias por su atención

